

КРАТКИЕ СООБЩЕНИЯ

УДК 548.737

КРИСТАЛЛИЧЕСКАЯ СТРУКТУРА ТИОМОЧЕВИННЫХ КОМПЛЕКСОВ  
[Rh(Thio)<sub>6</sub>](NO<sub>3</sub>)<sub>3</sub>·3H<sub>2</sub>O И [Pd(Thio)<sub>4</sub>](NO<sub>3</sub>)<sub>2</sub> — ПРОДУКТОВ ЭКСТРАКЦИОННОЙ ПЕРЕРАБОТКИ  
НИТРАТНО-НИТРИТНЫХ РАСТВОРОВ РОДИЯ(III) И ПАЛЛАДИЯ(II)

© 2010 Е. А. Шушарина<sup>1,2</sup>, И. А. Дружинина<sup>1</sup>, В. В. Татарчук<sup>1</sup>,  
С. А. Громилов<sup>1,2\*</sup>

<sup>1</sup>Учреждение Российской академии наук Институт неорганической химии им. А.В. Николаева СО РАН,  
Новосибирск

<sup>2</sup>Новосибирский государственный университет

Статья поступила 9 ноября 2009 г.

Изучены продукты экстракционной переработки нитратно-нитритных растворов Rh(III) и Pd(II). Выделены комплексные соли [Rh(Thio)<sub>6</sub>](NO<sub>3</sub>)<sub>3</sub>·3H<sub>2</sub>O и [Pd(Thio)<sub>4</sub>](NO<sub>3</sub>)<sub>2</sub>, проведен рентгеноструктурный анализ монокристаллов (автоматический дифрактометр BRUKER X8 APEX, MoK<sub>α</sub>-излучение, графитовый монохроматор, двухкоординатный CCD-детектор). Кристаллографические характеристики [Rh(Thio)<sub>6</sub>](NO<sub>3</sub>)<sub>3</sub>·3H<sub>2</sub>O:  $a = 15,1857(3)$ ,  $b = 10,7292(2)$ ,  $c = 18,8524(4)$  Å,  $\beta = 105,165(1)$ °, пр. гр.  $P2_1/c$ ,  $Z = 4$ ; [Pd(Thio)<sub>4</sub>](NO<sub>3</sub>)<sub>2</sub>:  $a = 5,8013(4)$ ,  $b = 7,0981(5)$ ,  $c = 11,4991(8)$  Å,  $\alpha = 99,963(2)$ ,  $\beta = 101,410(2)$ ,  $\gamma = 102,229(2)$ °, пр. гр.  $P-1$ ,  $Z = 1$ .

**Ключевые слова:** родий, палладий, комплексная соль, рентгеноструктурный анализ.

Извлечение родия и палладия из сложных нитратно-нитритных водных растворов представляет интерес в связи с актуальной задачей выделения осколочных благородных металлов (Rh, Pd, Ru, Ag) из отработанного ядерного топлива АЭС в целях повышения глубины переработки и безопасности захоронения ядерных отходов, а также, в перспективе, для ограниченного использования осколочных платиноидов в некоторых отраслях промышленности в качестве альтернативы востребованным драгоценным металлам, природные ресурсы которых ограничены.

Ранее была предложена экстракционная система на основе смеси органического сульфида и нитрата алкиламилиния (растворитель — псевдокумол), позволяющая полностью извлечь в органическую фазу родий или/и палладий как из индивидуальных, так и из сложных нитратно-нитритных растворов, которые по составу и концентрациям ряда исходных компонентов моделируют реальные жидкие высокоактивные отходы [1]. При последующей реэкстракции родия и палладия водным раствором тиомочевины (1 моль/л Thio) в водных фазах выделяются осадки красно-оранжевых оттенков цвета, которые состоят из отличающихся по форме (габитусу) кристаллов. Цель данной работы состояла в установлении природы и кристаллической структуры отдельных (наиболее совершенных) монокристаллов этих твердых продуктов реэкстракции.

Рентгеноструктурное исследование двух монокристаллов, различающихся габитусом и цветом, проведенное на автоматическом дифрактометре BRUKER X8 APEX (MoK<sub>α</sub>-излучение, графитовый монохроматор), показало, что первый кристалл представляет собой кристаллогидрат соли [Rh(Thio)<sub>6</sub>](NO<sub>3</sub>)<sub>3</sub>·3H<sub>2</sub>O, а второй — соль [Pd(Thio)<sub>4</sub>](NO<sub>3</sub>)<sub>2</sub>. Обе структуры решены

\* E-mail: grom@niic.nsc.ru

Таблица 1

## Кристаллоструктурные характеристики изученных комплексных солей

|   |   |   |
|---|---|---|
| Комплекс  | $[\text{Rh}(\text{Thio})_6](\text{NO}_3)_3 \cdot 3\text{H}_2\text{O}$ | $[\text{Pd}(\text{Thio})_4](\text{NO}_3)_2$ |
| Температура, К                                  | 293   | 150   |
| $a, b, c, \text{\AA}$                           | 15,1857(3), 10,7292(2), 18,8524(4)                                    | 5,8013(4), 7,0981(5), 11,4991(8)            |
| $\alpha, \beta, \gamma$ , град.                 | 90, 105,165(1), 90  | 99,963(2), 101,410(2), 102,229(2)           |
| $V, \text{\AA}^3$                               | 2964,7(1)   | 442,06(5)                                   |
| Пространственная группа                         | $P2_1/c$  | $P -1$                                      |
| $Z$   | 4   | 1   |
| $d_x, \text{г}/\text{см}^3$                     | 1,792   | 2,009                                       |
| Размеры монокристалла, мм                       | 0,16×0,16×0,14  | 0,57×0,08×0,05                              |
| Диапазон сбора данных по $\theta$ , град.       | 1,39—26,38  | 1,85—30,50                                  |
| Число измер. / независ. отражений               | 21135 / 6064  | 3927 / 2556                                 |
| Полнота сбора данных ( $\theta = 25^\circ$ ), % | 100,0   | 95,0  |
| $R_1, \%$                                       | 3,07  | 1,87  |
| $wR_2, \%$                                      | 5,52  | 5,61  |
| $R_1 (I \geq 2\sigma(I)), \%$                   | 2,30  | 2,16  |
| $wR_2 (I \geq 2\sigma(I)), \%$                  | 6,01  | 6,95  |
| $S$ -фактор по $F^2$                            | 1,029   | 1,240                                       |
| № CCDC  | 752635  | 752634                                      |

методом тяжелого атома и уточнены в анизотропном (изотропном — для атомов Н) приближении. Атомы Н молекул тиомочевины локализованы геометрически, а молекул воды — экспериментально. Все расчеты выполнены по комплексу программ SHELX-97 [2]. Кристаллографические характеристики, условия эксперимента и характеристики проведенных расшифровок даны в табл. 1. Структурные данные  $[\text{Rh}(\text{Thio})_6](\text{NO}_3)_3 \cdot 3\text{H}_2\text{O}$  и  $[\text{Pd}(\text{Thio})_4](\text{NO}_3)_2$  (координаты и тепловые параметры атомов) депонированы в CCDC (Кембриджский банк структурных данных) [3] под номерами 752635 и 752634 соответственно.

Рентгенодифрактометрическое исследование поликристаллов (ДРОН-УМ1,  $\text{CuK}_{\alpha}$ -излучение) показало, что синтезированный продукт, кроме указанных ранее  $[\text{Rh}(\text{Thio})_6](\text{NO}_3)_3 \cdot 3\text{H}_2\text{O}$  и  $[\text{Pd}(\text{Thio})_4](\text{NO}_3)_2$ , содержит еще ряд кристаллических фаз. Попытки их идентификации оказались безуспешными.

**[Rh(Thio)<sub>6</sub>](NO<sub>3</sub>)<sub>3</sub>·3H<sub>2</sub>O.** Кристаллическая структура  $[\text{Rh}(\text{Thio})_6](\text{NO}_3)_3 \cdot 3\text{H}_2\text{O}$  является островной, она построена из комплексных катионов  $[\text{Rh}(\text{Thio})_6]^{3+}$ , нитратных анионов и молекул кристаллизационной воды (рис. 1). Следует отметить, что это первый пример расшифровки структуры, содержащей катион  $[\text{Rh}(\text{Thio})_6]^{3+}$ . Значения расстояний Rh—S лежат в узком интервале 2,3625(6)—2,4068(6) Å. Интервал значений валентных углов S—Rh—S (80,17(2)—100,02(2)°) широкий. Фрагменты структуры связаны водородными связями N—H...O(NO<sub>3</sub>), N—H...O(H<sub>2</sub>O), O—H...O(NO<sub>3</sub>), кратчайшая из которых 2,8 Å.

Общий мотив построения кристаллической структуры определяли по методике выделения трансляционных подрешеток [4], согласно которой детерминант матрицы ( $\Delta$ ), составленной из индексов наиболее интенсивных отражений, должен быть равным числу тяжелых фрагментов ( $N_{\text{тф}}$ ) в ячейке. Формульная единица  $[\text{Rh}(\text{Thio})_6](\text{NO}_3)_3 \cdot 3\text{H}_2\text{O}$  содержит 1 тяжелый фрагмент (катион), с учетом  $Z = 4$ ,  $N_{\text{тф}} = \Delta = 4 \times 1 = 4$ . Анализ теоретической дифрактограммы, вычисленной только по атомам Rh, показал, что наиболее симметричная подрешетка может быть выделена при использовании следующей тройки отражений от кристаллографических плоскостей: (1 1 0), (1 -1 0) и (0 0 -2). Первые два отражения связаны элементом симметрии. Подъячейка представляет собой искаженный ромбоэдр с параметрами:  $a_t = b_t = 9,30$ ,  $c_t = 9,43$  Å,  $\alpha_t = \beta_t =$

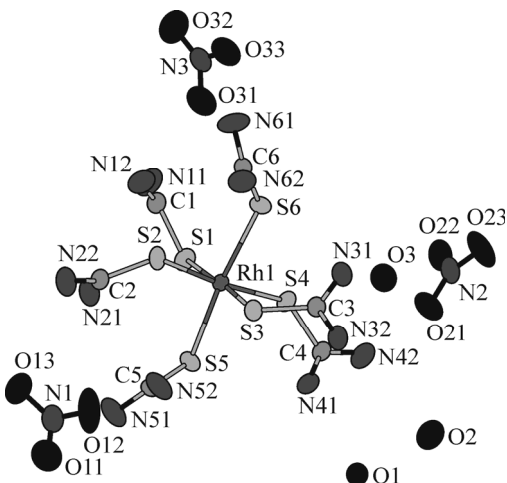


Рис. 1. Строение структурных единиц  $[\text{Rh}(\text{Thio})_6](\text{NO}_3)_3 \cdot 3\text{H}_2\text{O}$  с нумерацией атомов и эллипсоидами тепловых колебаний (атомы водорода не показаны)

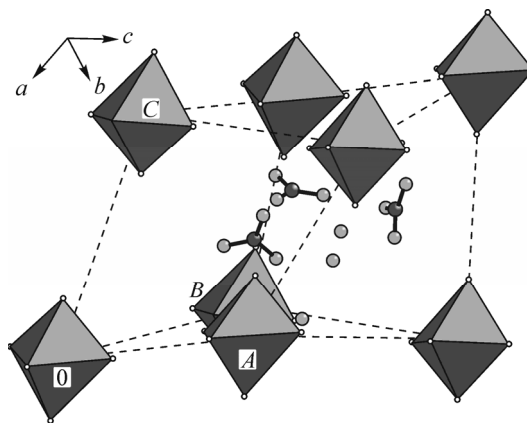


Рис. 2. Псевдоромбоэдрический мотив построения структуры  $[\text{Rh}(\text{Thio})_6](\text{NO}_3)_3 \cdot 3\text{H}_2\text{O}$  (атомы C, N, H не показаны). Индексы плоскостей: AB0 — (1 1 0), BC0 — (0 0 2), AC0 — (1 -1 0)

$\gamma = 77,66^\circ$ ,  $\gamma_t = 70,48^\circ$ . Соответствующие векторы:  $a_t = a/2 + b/2$ ,  $b_t = a/2 - b/2$ ,  $c_t = -c/2$ . На рис. 2 показан мотив расположения катионов и анионов в структуре  $[\text{Rh}(\text{Thio})_6](\text{NO}_3)_3 \cdot 3\text{H}_2\text{O}$ .

**[Pd(Thio)<sub>4</sub>](NO<sub>3</sub>)<sub>2</sub>.** Строение структурных единиц  $[\text{Pd}(\text{Thio})_4](\text{NO}_3)_2$  с нумерацией атомов и эллипсоидами тепловых колебаний показано на рис. 3. К настоящему времени известно, по крайней мере, 6 кристаллических структур, содержащих катион  $[\text{Pd}(\text{Thio})_4]^{2+}$ . Их геометрические характеристики приведены в табл. 2. Кристаллическая структура является островной (рис. 4), она построена из катионов  $[\text{Pd}(\text{Thio})_4]^{2+}$  и анионов  $\text{NO}_3^-$ , которые связаны между собой водородными связями N—H...O(NO<sub>3</sub>) с нижней границей 2,9 Å.

В данном случае выявление трансляционной подрешетки не имеет смысла, так как  $Z = 1$ , а формульная единица содержит один тяжелый фрагмент. В результате  $N_{\text{тф}} = 1$ , т.е. подъячейка совпадает с элементарной ячейкой.

Таким образом, в настоящей работе изучены кристаллические структуры комплексных соединений  $[\text{Rh}(\text{Thio})_6](\text{NO}_3)_3 \cdot 3\text{H}_2\text{O}$  и  $[\text{Pd}(\text{Thio})_4](\text{NO}_3)_2$ . Геометрические характеристики комплексного катиона  $[\text{Rh}(\text{Thio})_6]^{3+}$  получены впервые. Работа по изучению других кристаллических фаз, присутствующих в продуктах экстракционной переработки нитратно-нитритных растворов Rh(III) и Pd(II), будет продолжена.

Таблица 2

Расстояния и валентные углы в комплексных катионах  $[\text{Pd}(\text{Thio})_4]^{2+}$ 

| Соединение  | Расстояния Pd—S, Å     | $\angle S-Pd-S$ , град. | Пр. гр.  | Код в CCDC [3] |
|---|------------------------|-------------------------|----------|----------------|
| $[\text{Pd}(\text{Thio})_4]\text{Cl}_2^*$   | 2,3132(18)—2,345(2)    | 86,75(7)—93,10(7)       | $Pna2_1$ | THUPDC03       |
| $[\text{Pd}(\text{Thio})_4]\text{Cl}_2 \cdot 2\text{C}_6\text{H}_6\text{N}_4\text{O} \cdot 2\text{H}_2\text{O}$ | 2,3360(5), 2,3413(5)   | 88,67(2)                | $P-1$    | TUFGUW         |
| $[\text{Pd}(\text{Thio})_4]\text{Cl}_2 \cdot 2\text{C}_7\text{H}_8\text{N}_4 \cdot 2\text{H}_2\text{O}$         | 2,2920(10), 2,3129(10) | 87,60(5)                | $P2_1/c$ | YOSLEX         |
| $[\text{Pd}(\text{Thio})_4](\text{SCN})_2$  | 2,3301(10), 2,3447(10) | 87,86(5)                | $P2_1/c$ | WIZRED         |
| $[\text{Pd}(\text{Thio})_4]\text{I}_2$  | 2,3362(13), 2,3372(14) | 87,29(6)                | $C2/c$   | ZEHQE1         |
| $[\text{Pd}(\text{Thio})_4](\text{NO}_3)_2$   | 2,3370(5), 2,3376(5)   | 85,33(2)                | $P-1$    | № 752634       |

\* Максимальное отклонение атомов, принадлежащих координационному узлу  $\text{PdS}_4$ , от среднеквадратичной плоскости 0,1 Å.

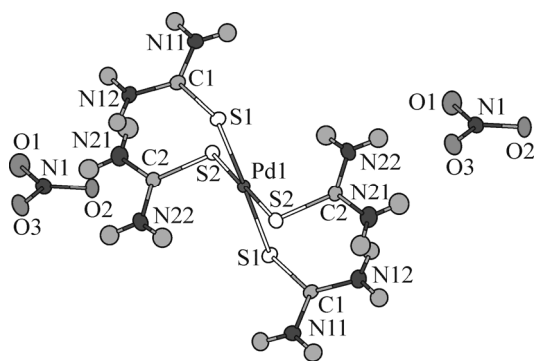


Рис. 3. Строение структурных единиц  $[\text{Pd}(\text{Thio})_4](\text{NO}_3)_2$  с нумерацией атомов и эллипсоидами тепловых колебаний (нумерация атомов водорода не показана)

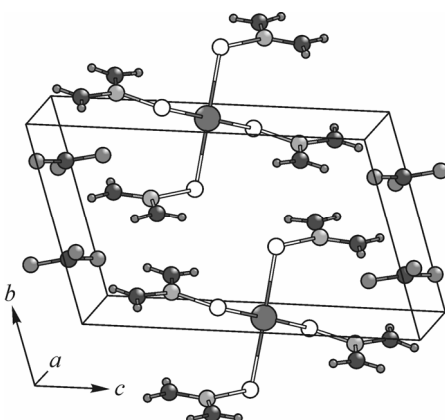


Рис. 4. Вид кристаллической структуры  $[\text{Pd}(\text{Thio})_4](\text{NO}_3)_2$  в направлении оси  $x$

#### СПИСОК ЛИТЕРАТУРЫ

1. Татарчук В.В., Дружинина И.А., Корда Т.М. // Журн. неорган. химии. – 2009. – **54**, № 8. – С. 1401–1407.
2. Sheldrick G.M. // Acta Crystallogr. – 2008. – **A64**, N 1. – P. 112 – 122.
3. Allen F., Kennard O. // Chem. Des. Autom. News. – 1993. – **8**, N 1. – P. 31.
4. Борисов С.В. // Журн. структур. химии. – 1986. – **27**, № 3. – С. 164 – 167.